

**КИНЕТИКА ТЕПЛОВЫДЕЛЕНИЯ В КОНДЕНСИРОВАННОЙ ФАЗЕ
ПИРОКСИЛИНА ПРИ ПОВЫШЕННЫХ ТЕМПЕРАТУРАХ**

B. B. Александров, С. С. Хлевной

(Новосибирск)

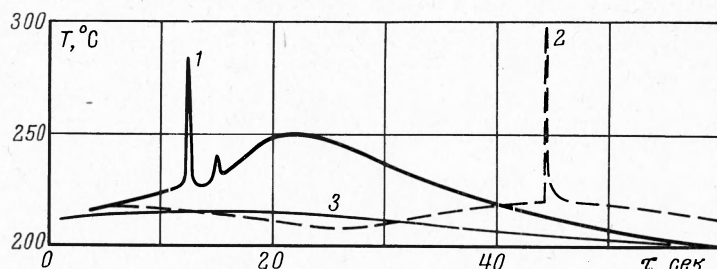
С помощью разработанного авторами импульсного калориметрического метода исследуется кинетика тепловыделения в конденсированной фазе пироксилина при температурах $220 \div 300^\circ\text{C}$. Измерены тепловой выход и доля диспергированного вещества в зависимости от температуры. Проведено широкое сопоставление большого количества литературных данных по термическому разложению пироксилина, на основании которого предлагаются как наиболее достоверные для начальной стадии разложения пироксилина в интервале температур $70 \div 300^\circ\text{C}$ энергия активации $E = 42 \text{ ккал/моль}$ и предэкспонент $z = 10^{16,9} \text{ сек}^{-1}$.

Подавляющее большинство работ [1] по изучению кинетики термического разложения нитроклетчатки (НКЛ) выполнено при температурах ниже 200°C . Первые исследования ставили своей целью определить химическую стойкость НКЛ в условиях длительного хранения и поэтому проводились (насколько позволяла чувствительность существовавших в то время методов) при возможно более низкой температуре. Верхний предел по температуре устанавливался развитием теплового взрыва. В этих исследованиях температура не превышала $155 \div 160^\circ\text{C}$.

Сравнительно недавно температура была提高 до 190°C [2] (путем проведения исследований на пленках НКЛ толщиной $2 \div 3 \text{ мк}$ с применением ИФК-спектроскопической аппаратуры и кварцевых весов) и до 200°C [3] (при изучении термического разложения НКЛ в инертных растворителях).

В связи с принципиальными методическими трудностями прямые измерения кинетики разложения НКЛ выше 200°C отсутствуют. Получены лишь расчетные значения скорости тепловыделения по формулам, использующим измеренные в контролируемых условиях времена задержки и критические температуры зажигания [4].

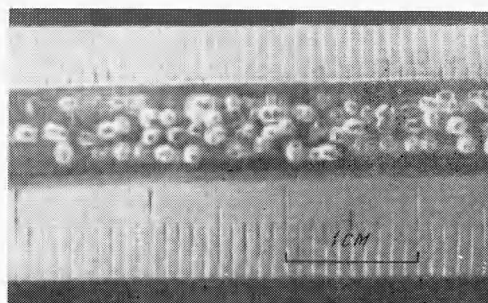
Здесь излагаются результаты исследований кинетики реакции термического разложения пироксилина ($12.0 \div 12.4\% N$) выше 200°C , проведенных на специальной импульсной калориметрической установке [5]. Возможное влияние газофазных реакций исключалось проведением опытов в вакууме ($0.05 \div 0.5 \text{ мм рт. ст.}$). В основном опыты проводились на пленках вещества толщиной $0.5 \text{ мк} \leq \delta \leq 2 \text{ мк}$, которые обеспечивали достаточно большой полезный сигнал по сравнению с уровнем помех. Попытки использовать более толстые пленки (толщиной 10 мк и выше) показали, что в них не удается поддержать равномерное протекание разложения, несмотря на то что температура в опытах была значительно ниже критической, рассчитанной по формулам теории теплового взрыва. Отдельные пятимикронные термопары, наклеенные по методике [5] на слой пироксилина (ПК) толщиной $10 \div 15 \text{ мк}$, регистрируют «всплески» при достижении температуры $220 \div 230^\circ\text{C}$ (фиг. 1), которые свидетельствуют о нарушении стационарного течения реакции.



Фиг. 1. Показания отдельных термопар, наклеенных по стандартной методике [5] на слой пироксилина толщиной 15 мк ; 1, 2, 3 — номера термопар

Причина возникновения всплесков была выяснена при быстром охлаждении пластинок с ПК после импульсного нагрева их до той же ($\sim 230^\circ\text{C}$) температуры. На фиг. 2 представлена фотография одной из таких пластин, где хорошо видны пузырьки «пены» диаметром до 1 мм . Высота больших пузырьков над поверхностью пластины достигает $\sim 0.5 \text{ мм}$. На фотографии увеличенного небольшого участка пены (фиг. 3) помимо отмеченных выше пузырьков видно большое количество мелких (диаметром $30 \div 150 \text{ мк}$ и

меньше). Эти пузырьки и трещины можно видеть также в стенках больших пузырьков. По-видимому, трещины в пленке образуются при ее затвердевании в результате быстрого охлаждения. Визуальные наблюдения за поведением пленок ПК при их нагреве показали, что при температуре $\sim 220^\circ\text{C}$ он становится жидким. Это подтверждается также



Фиг. 2. Фотография «замороженной» пены в пироксилине



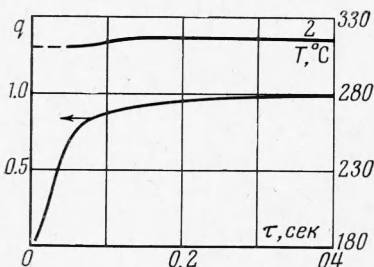
Фиг. 3. Микрофотография участка замороженной пены

показаниями упругих, предварительно напряженных, пятимикронных термопар, которые выходят из контакта с пленкой ($\delta = 1 - 10 \mu\text{m}$) при достижении температуры $\sim 220^\circ\text{C}$. В это же время появляется заметное газовыделение, зарегистрированное специальным вольфрамовым вакууметром.

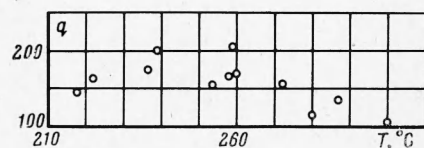
Разжижение НКЛ перед воспламенением отмечалось и ранее [6]. О появлении пузырьков в начале бурного разложения при самовоспламенении ПК в вакууме сообщалось в [7].

При уменьшении толщины пленки до $\sim 1 \mu\text{m}$ заморозить пену не удается, а термопары перестают регистрировать вспышки при всех исследованных температурах. Описанные выше опыты с «закалкой» показали, что вспенивание может увеличить эффективную толщину слоя ПК в 10—30 раз. Следовательно, микронная пленка ПК может превратиться в слой пены толщиной 10—30 μm . Нетрудно убедиться по формулам теории теплового взрыва, что для $\delta = 30 \mu\text{m}$ критическая температура составляет $270-300^\circ\text{C}$ при кинетических константах, использованных в [5]. Поэтому есть основания ожидать отсутствие вспышек при начальных толщинах пленок менее 1 μm .

Типичная кинетическая зависимость количества тепла, выделяющегося в *k*-фазе ПК при температуре $\sim 300^\circ\text{C}$ приведена на фиг. 4. Полное количество тепла, измеренное в этом опыте, $Q_k = 108 \text{ кал/г}$. Зависимость его от температуры приведена на фиг. 5.



Фиг. 4. Экспериментальные кривые одного из калориметрических опытов; 1 — количество выделившегося в *k*-фазе тепла, 2 — ход температуры по показаниям пяти термопар



Фиг. 5. Зависимость количества тепла, выделившегося в *k*-фазе, от температуры опыта. (В качестве характерной взята температура в момент времени, когда выделилось $Q = 0.5 Q_k$).

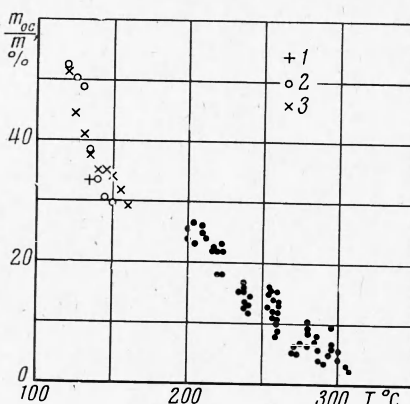
С повышением температуры тепловой эффект уменьшается до величины, согласующейся с результатами работы [7] ($Q_k = 80 \text{ кал/г}$ при беспламенном горении, когда на поверхности температура $\sim 300^\circ\text{C}$; значения $Q_k = 90—140 \text{ кал/г}$ получены калориметрированием процесса самовоспламенения в вакууме).

После опыта на холодных деталях установки наблюдалось накопление желтоватого осадка в согласии с [7,8]. Специальные опыты, в которых калориметрический пакет с ПК окружался экранами из латунной фольги, показали, что при температуре пакета $\sim 300^\circ\text{C}$ на экранах осаждается $33 \pm 5\%$ и $24 \pm 4\%$ веса исходного ПК при $T = 230—240^\circ\text{C}$. При нанесении ПК на внешнюю сторону пластины пакета доля осадка на экранах составляет те же 33% при $T = 300^\circ\text{C}$ и 30% при $230—240^\circ\text{C}$.

На пластинах пакета остается темно-коричневый осадок, выход которого с повышением температуры уменьшается практически по линейному закону, как это можно видеть из фиг. 6, где приведены также литературные данные для более низких температур [9,11]. Оказалось, что сумма осадков на экране и на калориметрических пластинах практически не зависит от того на какие стороны пластины нанесен ПК и составляет

$$36 \pm 1.5\% \quad \text{при } T = 300^\circ\text{C}$$

$$40 \pm 1.5\% \quad \text{при } T = 230—240^\circ\text{C}$$



Фиг. 6. Зависимость выхода осадка при термическом разложении НКЛ от температуры:
1 — $13.1\% N$ [9]
2 — $13.4\% N$ [10]
3 — $12\% N$ [11]

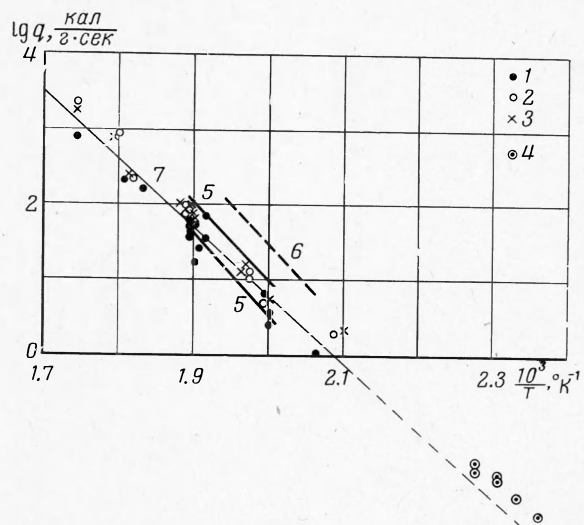
Из сведений о доле ПК, осаждающегося на холодных экранах («процент диспергирования» [7]), можно грубо оценить количество тепла, которое выделилось бы в *k*-фазе, если весь ПК превратился бы в газообразные продукты (аналогично тому, как это было сделано в [7]), оказалось, что

$$Q^* = \frac{110}{0.67} = 160 \frac{\text{кал}}{\text{г}} \quad \text{при } 300^\circ\text{C},$$

$$Q^* = \frac{170}{0.76} = 220 \frac{\text{кал}}{\text{г}} \quad \text{при } 220—240^\circ\text{C}$$

При беспламенном горении ПК после самовоспламенения в вакууме [7] доля диспергированного вещества составляла 70% (т. е. на 30% больше, чем в наших опытах). Причина, очевидно, заключается в том, что в [7] образцы ПК толщиной $0.5 \pm 1 \text{ мм}$ почти равномерно прогревались до температуры самовоспламенения, реакция разложения протекала по всему объему образца, и газообразные продукты реакции с большим трудом удалялись в окружающую среду, чем в наших опытах, где, как указывалось ранее, применялись слои толщиной $0.5 \pm 2 \text{ мк}$.

Опыты «по замораживанию» дают основание предполагать, что при горении ПК толщина зоны химической реакции в *k*-фазе будет не более 10 мк. Поэтому в условиях горения наиболее вероятно осуществление менее затрудненного, чем в опытах по самовоспламенению ПК [7], выхода продуктов реакции в газовую фазу, и поэтому доля диспергированного вещества должна быть по величине ближе к полученной в данной работе.



Фиг. 7. Скорости тепловыделения в *k*-фазе при различных температурах. Результаты измерения: 1 — $Q = 5 \text{ кал/г}$, 2 — $Q = 25 \text{ кал/г}$, 3 — $Q = 50 \text{ кал/г}$; точки 4 — $Q = 5 \div 50 \text{ кал/г}$ [12]; линии 5 — [4], 6 — [13], 7 — рассчитана с помощью метода наименьших квадратов по точкам 1, 2, 3

Такой вывод подкрепляется результатами работы [8], где выход твердого вещества, собранного с холодных стенок реакционного сосуда при сжигании тонких листочков НКЛ в условиях вакуума $p = 1 - 2 \text{ мм рт. ст.}$, составлял всего лишь $30 \div 50\%$. Поэтому целесообразно детально изучить зависимость доли диспергированного ПК от условий в реакционном слое вещества.

Тепловой эффект в 500 кал/г, измеренный в вакууме при температурах 150—165°C [12], по-видимому, носит на себе сильное влияние вторичных реакций, в которые вступают первичные газообразные продукты с исходными ПК и первичными конденсированными продуктами. К сожалению, авторы [12] не сообщают величину давления, при котором проводились измерения.

Дифференцированием кинетических кривых, типа изображенной на фиг. 4, получены значения скорости тепловыделения при различных температурах и глубинах превращения. В качестве меры глубины превращения использовано количество тепла, выделившееся к данному моменту времени. Ясно, что в связи с протеканием процесса диспергирования параллельно химическому превращению, а точнее вследствие его, наибольшую достоверность при определении кинетического закона должен давать начальный участок экспериментальной кривой тепловыделения. Этот же участок имеет наиболее важное значение для развития процесса зажигания и для стационарного горения.

На фиг. 7 приведены результаты такой обработки для трех глубин превращения ($Q = 5, 25, 50 \text{ кал/г}$). Из графика следует, что экспериментальные точки, соответствующие $Q = 5 \text{ кал/г}$, располагаются ниже относящихся к $Q = 25$ и 50 кал/г , что свидетельствует об автокатализическом протекании процесса. На это уже указывали многие исследователи [1, 6, 9—12]. Начальную стадию (до $Q = 50 \text{ кал/г}$, что составляет $\sim 30\%$ при 220°C и $\sim 50\%$ при 300°C от полного количества тепла, выделяющегося в *k*-фазе при этих температурах), в пределах разброса экспериментальных точек, можно описать как реакцию нулевого порядка с энергией активации $E = 41.2 \pm 1.7 \text{ ккал/моль}$ и предэкспонентом $\lg(zQ^*) = 18.84 \pm 0.70$, вычисленными по методу наименьших квадратов. Прямая с такими параметрами проведена на фиг. 7. Вычисления для каждой степени превращения в отдельности приводят к близким значениям $E = 41.8 \pm 2.3, 42.4 \pm 2.4, 38.6 \pm 2.3 \text{ ккал/моль}$, $\lg(zQ^*) = 18.92 \pm 0.97, 19.44 \pm 0.99, 17.86 \pm 0.94$, $[zQ^*] = \text{кал/г·сек}$ для $Q = 5, 25, 50 \text{ кал/г}$ соответственно. Зажигание горячим газом [4] дает согласующиеся с нашими скорости тепловыделения, на что уже обращалось внимание в [6].

Результаты, полученные в опытах по зажиганию ПК массивной металлической пленкой [13], располагаются значительно выше. По-видимому, в этих условиях затрудненного оттока вторичных газообразных продуктов может быть существенным вклад газофазных реакций. Скорости тепловыделения из [11], так же как и полные тепловые эффекты, лежат несколько выше значений, получающихся экстраполяцией нашей прямой в область температур 150–165° С. Следует отметить, что уменьшение для этих точек суммарного теплового эффекта с 500 до 200 кал/г, т. е. в 2,5 раза ($\Delta \lg Q^* = -0,4$) смещает их так, что они оказываются практически на нашей прямой (или чуть ниже).

На фиг. 8 в координатах T^{-1} [$^{\circ}\text{К}^{-1}$] и $\lg w$ [сек $^{-1}$] проведено сопоставление всех известных результатов по скорости термического разложения НКЛ, полученных самыми разными методами в различных условиях в интервале температур от 70 до 300° С; точки 1, 2, 3 — наши экспериментальные данные, 4 — масс-спектрометрия (вакуум), (максимальная скорость) [14], 5 — начальная скорость (н. с.) тепловыделения в вакууме [12], 6 — н. с. газообразования в вакууме [1] 7 — н. с. образования конденсирующихся газов в вакууме [1], 8 — термогравиметрия в вакууме (н. с.) [1]; 9 — н. с. образования трудно конденсирующихся газов (в вакууме) [1]; линии 10 — н. с. газообразования из растворов в инертных растворителях [3], 11 — термогравиметрия (вакуум) [2], 12 — ИФК-спектроскопия (в вакууме (н. с.)) [2], 13 — термогравиметрия в вакууме (н. с.) [2], 14 — н. с. тепловыделения и газоизделия на воздухе [12], 15 — [1], 16 — н. с. газоизделия в присутствии продуктов разложения [1], 18 — н. с. отщепления азота, термогравиметрия в токе CO_2 [9], 19 — заштрихованная область, где расположены 12 экспериментальных кривых, полученных в вакууме с помощью ИФК-спектроскопии и термогравиметрии [2].

Из графика видно, что все данные группируются в единую полосу. Наибольшее отклонение от центра полосы обнаруживаются некоторые результаты по убыли веса [2], по выходу трудно конденсирующихся газов [1], данные разложения в инертных растворителях [3] и результаты масс-спектрометрического изучения [14]. Что касается последних, то их завышение вполне объяснимо, поскольку они представляют собой максимальные скорости выхода газа с массой 30 (где кинетические кривые носят явно автокаталитический характер). Описываемая нашими результаты прямая (см. фиг. 7) при $Q^* = 200$ кал/г проходит близко к центру полосы, немного отклоняясь в области 70° С. Совокупность экспериментальных данных описывается прямой — 20 с параметрами $z = 10^{16,9}$ сек $^{-1}$, $E = 42$ ккал/моль.

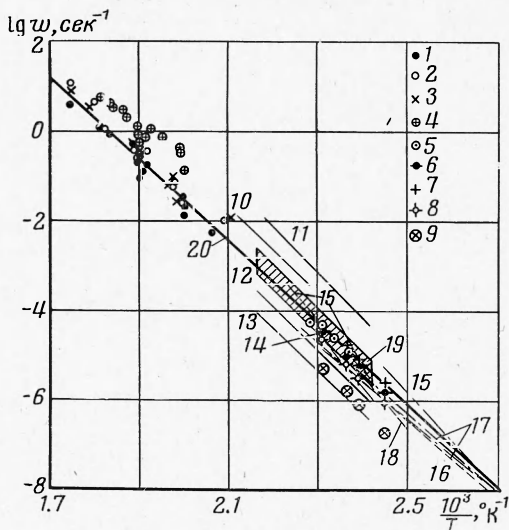
Эти величины представляются в настоящее время наиболее вероятными для термического разложения НКЛ в интервале температур от 70 до 300° С.

Авторы благодарят К. П. Куценко за помощь при получении микрофотографий и В. Г. Морозова за помощь в проведении опытов.

Поступила 3 III 1969

ЛИТЕРАТУРА

- Андреев К. К. Термическое разложение и горение взрывчатых веществ. М.: «Наука», 1966, стр. 31, 98.
- Phillips R. W., Orlick C. A., Steinberger R. The kinetics of the thermal decomposition of nitrocellulose. J. Phys. Chem., 1955, vol. 59, No. 10, pp. 1034–1039.
- Smith R. D. Pyrolysis of dissolved nitrocellulose. Nature, 1952, vol. 170, pp. 844, 845.
- Григорьев Ю. М., Лисицкий В. И., Мержанов А. Г. О воспламенении конденсированных веществ в нагретом газе. Физика горения и взрыва, 1967, т. 3, № 4, стр. 512.
- Александров В. В., Морозов В. Г., Хлевной С. С. Импульсная калориметрическая методика для исследования кинетики химических реакций в конденсированных системах. ПМТФ, 1969, № 5.



Фиг. 8

6. R i d e a l E. K., R o b e r t s o n A. J. B. The spontaneous ignition of nitrocellulose. III Sympos. on Comb. and Flame Explos. Phenomena, Baltimore, Williams and Wilkins Co, Md., 1949, p. 536.
7. П о х и л П. Ф. О механизме горения бездымных порохов. Сб. «Физика взрыва», М., Изд-во АН СССР, 1953, № 2, стр. 181.
8. W o l f g o m M. L., F r a z e r J. H., K u h n L. P., D i c k e y E. E., O l i n S. M., B o w e r R. S., M a h e r G. G., M u r d o c k J. D., C h a n e y A., C a r g e n t e r E. The controlled thermal decomposition of Cellulose nitrate. J. Amer. Chem. Soc., 1955, vol. 77, No. 24, pp. 6573—6580; 1956, vol. 78, No. 18, pp. 4695—4704.
9. В иль В. Исследование стойкости нитроклетчатки. Морской сборник, 1904, № 1, стр. 87; № 2, стр. 153.
10. С а п о ж н и к о в А. В., Я г е л л о в и ч В. Разложение нитроклетчатки при температурах ниже воспламенения. Ж. Русск. физ.-хим. об-ва, 1905, т. 37, вып. 7, стр. 822.
11. С а п о ж н и к о в А. В. Разложение нитроклетчатки при температурах выше воспламенения (статья вторая). Ж. Русск. физ.-хим. об-ва, 1906, т. 38, вып. 7, стр. 1186.
12. М а н е л и с Г. Б., Р у б ц о в Ю. И., С м и р н о в Л. П., Д у б о в и ц к и й Ф. И. Кинетика термического разложения пироксилина. Кинетика и катализ, 1962, т. 3, вып. 1, стр. 42.
13. Ш т ейнберг А. С., У лы би н В. Б., Б а р зы ки н В. В., М ер жа н о в А. Г. О зажигании конденсированных веществ в условиях постоянства температуры на поверхности. Инж.-физ. ж., 1966, т. 10, № 4, стр. 482.
14. К о р о б ейничев О. П., А лек сандров В. В., Л я х о в Н. З. Исследования кинетики и механизма высокотемпературного распада пироксилина с помощью времяз-пролетного масс-спектрометра. Изв. АН СССР, Сер. хим., 1969, № 10.

ОБ УСТОЙЧИВОСТИ СТАЦИОНАРНОГО РЕЖИМА ГОРЕНИЯ ТВЕРДОГО ТОПЛИВА

Г. Л. Комиссарова, И. М. Сулима

(Киев)

В работе Я. Б. Зельдовича [1] получена зависимость скорости стационарного горения твердого топлива от начальной температуры. А. Г. Истратов и В. Б. Либрович [2] исследовали устойчивость стационарного горения твердого топлива с учетом непостоянства температуры поверхности твердого топлива.

В данной работе изучено влияние тепловыделения в зонах реакции и неоднородности температурных и скоростных полей на устойчивость стационарного режима горения твердого топлива. Предположения о механизме горения твердого топлива, лежащие в основе данного исследования, изложены в работе [2].

Исследование устойчивости проводится методом малых возмущений. В работе получен новый критерий устойчивости стационарного режима горения твердого топлива. Как показали вычисления, проведенные на БЭСМ-2М, параметрами, существенно влияющими на устойчивость, оказываются σ , z_2 / c_p , Θ_r , Δ_2 / c_p , $v_{\xi_2}^{\circ}$.

Задача решается в одномерной постановке. Полагаем, что система координат неизменно связана с границей, отделяющей твердое топливо от продуктов его распада. Ось x направлена от поверхности твердого топлива к поверхности горения.

Область 1 описывается уравнением теплопроводности

$$\frac{\partial T_1}{\partial t} + u_1 \frac{\partial T_1}{\partial x} = a_1 \frac{\partial^2 T_1}{\partial x^2}, \quad a_1 = -\frac{\lambda_1}{c_{p1} \rho_1} \quad (1)$$

Процессы, происходящие в области 2, описываются системой уравнений, полученной в работе [3]:

$$\begin{aligned} \frac{\partial u_2}{\partial t} + u_2 \frac{\partial u_2}{\partial x} &= -\frac{1}{\rho_2} \frac{\partial p_2^*}{\partial x} + \frac{4}{3} \frac{1}{\rho_2} \frac{\partial}{\partial x} \left(\mu_2 \frac{\partial u_2}{\partial x} \right) & (2) \\ \frac{\partial \rho_2}{\partial t} + \frac{\partial (\rho_2 u_2)}{\partial x} &= 0, \quad c_{p2} \left(\frac{\partial T_2}{\partial t} + u_2 \frac{\partial T_2}{\partial x} \right) = \frac{1}{\rho_2} \frac{\partial}{\partial x} \left(\lambda_2 \frac{\partial T_2}{\partial x} \right) \\ \frac{\partial s_2}{\partial t} + u_2 \frac{\partial s_2}{\partial x} &= \frac{1}{\rho_2} \frac{\partial}{\partial x} \left(D_{p2} \frac{\partial s_2}{\partial x} \right) \end{aligned}$$